

## DA-3030(recombinant human granulocyte colony-stimulating factor)의 정맥, 근육 또는 피하주사시 실험동물에서의 약물동력학 및 조직 분포

이응두\* · 심현주 · 이종진 · 이상득 · 강수형 · 김원배 · 양중의  
동아제약(주) 연구소

### Pharmacokinetics and Tissue Distribution of DA-3030 (recombinant human granulocyte colony-stimulating factor) after Intravenous, Intramuscular or Subcutaneous Administrations to the Laboratory Animals.

Eung Doo LEE\*, Hyun Joo SHIM, Jong Jin LEE, Sang Deuk LEE  
Soo Hyung KANG, Won Bae KIM and Junnick YANG

Research Laboratories, Dong-A Pharm. Co. Ltd.,  
47-5, Sanggal-li, Kiheung-Up, Yongin-Gun, Kyunggi-Do, 449-900, Korea

(Received October 21, 1994; accepted November 30, 1994)

**Abstract**—The pharmacokinetics and tissue distribution of DA-3030 (recombinant human granulocyte colony-stimulating factor, rhG-CSF, recently manufactured by Dong-A research laboratory of Dong-A Pharmaceutical Company) were compared with reported data in the literature. After intravenous(i.v.) administration of DA-3030, at dose of 5, 10 and 100 µg/kg to rats, some pharmacokinetic parameters, such as terminal half-lives(1.05, 1.19 and 1.83 hr, respectively) and clearance (84.0, 54.8 and 45.5 ml/hr/kg, repectively), were dose-dependent. This could be due to the saturable metabolism of DA-3030 in rats. Similar results were also reported. After subcutaneous(s.c.) and intramuscular(i.m.) administrations of DA-3030, 10 µg/kg to rats, the extent of bioavailability(absolute bioavailability) were incomplete; the values were 23.3 and 18.2% after s.c. and i.m. injections, respectively, due to the degradation of DA-3030 by protease. After 7-consecutive day i.v. administrations of DA-3030, 10 µg/kg/day, to rats, the plasma concentrations and pharmacokinetic parameters of DA-3030 were not significantly different from those in single administration. In mice and dogs at DA-3030 dose of 10 µg/kg, the plasma concentrations of DA-3030 were also declined rapidly with terminal half-lives of 1.31 and 1.15 hr, respectively. DA-3030 was highly concentrated in the kidney after i.v. administration of DA-3030, 10 µg/kg, to rats, and the results were similar to those obtained using radiolabelled rhG-CSF in the literature. Above data indicate that DA-3030 has similar properties to rhG-CSF manufactured by other companies in view of pharmacokinetics.

**Keywords** □ DA-3030, recombinant human granulocyte colony-stimulating factor, pharmacokinetics, tissue distribution.

DA-3030은 최근 동아제약(주) 연구소에서 대장균 발현체를 이용하여 생산한 유전자 재조합 인과립구 콜로니 자극인자(recombinant human granulocyte colony stimulating factor, rhG-CSF)이다. 콜로니 자극인자(CSF)는

산성의 당단백으로서 hematopoietic progenitor cell의 생존, 분열 및 분화에 필수적인 요소이다(Burgess and Metcalf, 1980; Metcalf, 1984; Begley 등, 1985; Metcalf, 1986). G-CSF는 bone marrow precursor cell의 granulocyte colony로의 분열 및 분화를 촉진시키는 인자로 확인되었다(Nicola 등, 1986).

\* To whom correspondence should be addressed.

hG-CSF는 human bladder carcinoma cell line 5637로부터 처음으로 분리되었고 hG-CSF를 발현하는 유전자의 complementary DNA를 동물 세포, 혈모 세포 및 박테리아 세포에서 발현시켜 rhG-CSF를 얻을 수 있다 (Souza 등, 1986). 이때 발현시킨 세포의 종류에 따라 단백질의 glycosylation이 일어나는 정도가 다른데, 대장균과 같은 박테리아 세포에서는 단백질의 glycosylation이 되지 않으므로 발현시킨 rhG-CSF는 당이 없는 단백질이며(Petros, 1992), 화학요법이나 방사선 조사에 의한 과립구 감소증의 예방 및 치료를 목적으로 사용되고 있다. DA-3030은 일본 Kirin사의 대장균 발현계와 같은 방법으로 제조하였으나 숙주-벡터계가 다른 재조합 발현 방법으로 생산되었다.

본 연구에서는 기존의 rhG-CSF와는 다른 숙주-벡터계를 사용한 유전자 재조합 방법으로 제조한 DA-3030에 대하여 rat, mouse 및 dog에서의 약물속도 정수를 기존의 rhG-CSF에 대한 정수와 비교하였다. 또한 rat에서의 용량 의존성과 투여 경로별 약물동력학 그리고 단회 및 반복간 약물동력학의 차이를 평가하고 조직 분포를 측정하였다.

### 실험방법

#### 동물

웅성 Sprague-Dawley rat 및 ICR mouse는 Charles River Co.(Atsugi, Japan)에서 구입하였고, Beagle dog은 유한양행(주) 중앙연구소에서 분양받아 사용하였으며, 실험전 1주일동안 물과 사료를 자유롭게 섭취하게 하였다. Rat는 체중 240~280 g의 7~8주령을, mouse는 체중 18~22 g의 6주령을, 그리고 Beagle dog은 13~15 kg의 2년령을 사용하였다.

#### 시약 및 재료

동아제약(주) 연구소에서 생산한 DA-3030(1.5 mg/ml) 을 5% mannitol 및 0.004% Tween 80을 함유하는 10 mM sodium acetate buffer(pH 4.0)에 희석하여 사용하였다. 다른 모든 시약은 특급 시약을 사용하였다. rhG-CSF의 정량에 사용한 ELISA kit(QuntikineTM)는 R&D system(Mckinley Place N.E. Minneapolis, MI. U.S.A.) 으로부터, rat 실험에 사용한 polyethylene tubing(PE-45)은 Clay Adams(Parsippany, NY, U.S.A.)로부터 구입하여 사용하였다.

#### Rat, mouse 및 dog에서의 혈장 농도

Rat에서 투여 경로별 혈장 농도의 차이를 살펴보기 위하여 DA-3030, 10 µg/kg을 각각 i.v., i.m. 및 s.c. 투여군으로 나누어 투여하였고, 투여 용량 의존성을 관찰하기 위하여 따로 DA-3030, 5 및 100 µg/kg을 정맥을 통하여 투여하였다. 정맥 투여시는 rat를 ether로 가볍게 마취한 후 대퇴 정맥에 polyethylene tube를 삽입하고, rat가 마취에서 완전히 회복된 후 tube를 통하여 약물을

투입하고 10 units/ml의 heparin(in saline) 용액으로 tube에 남아있는 약물을 완전히 rat의 정맥 속으로 주입하였다. 근육 및 피하 주사시는 대퇴 근육 및 피하에 직접 주사하였다. Rat의 대퇴 동맥에 미리 삽입한 cannula로부터 약물 투여전 및 투여후 5, 15, 30분 및 1, 2, 4, 6 및 8 시간에 혈액 250 µl씩을 채혈하였다. 반복 투여 실험에서는 rat의 꼬리 정맥을 통하여 6 일간 DA-3030, 10 µg/kg씩을 투여하고, 7일째에 rat의 단회 투여시와 동일한 방법으로 약물을 투여한 후 혈액을 채취하였다. Mouse 실험에서는 DA-3030, 10 µg/kg을 꼬리 정맥내에 투여한 후 안저(orbital plexus)로부터 채혈하였으며, dog 실험에서는 DA-3030, 10 µg/kg을 왼쪽 상완 정맥을 통해 투여하고 오른쪽 상완 정맥에서 채혈하였다. Mouse 및 dog 실험에서의 채혈시간 및 채혈량은 rat 실험에서와 같게 하였고, 채취한 혈액은 즉시 10,000 g에서 2분간 원심분리한 후 혈장 100 µl를 취하여 정량시까지 -20 °C에 냉동보관하였으며, 혈장중 DA-3030의 농도는 Quantikine kit 정량법에 따라 정량하였다.

#### Rat에서의 조직 분포

Rat에 DA-3030, 10 µg/kg을 꼬리 정맥을 통하여 주사한 다음 0.5, 2, 8 및 24 시간에 각각 실혈치사시켰다. Liver, lung, kidney, spleen, heart 및 muscle을 적출하여 적출한 조직 무게의 4배에 해당하는 phosphate buffer(pH 7.4)를 가한후 homogenize하였다. Homogenize한 액을 10,000 g에서 2분간 원심 분리한 후 얻은 상층액을 정량전까지 -20°C에 냉동 보관하였다. 정량 방법은 혈장 시료와 동일한 방법을 사용하였다.

#### 정량법

Quantikine kit에 포함된 microtiter plate에 혈장 또는 tissue homogenate 상층액 100 µl 및 RD1A assay diluent 100 µl를 넣은 다음 2시간 동안 방치하였다. 방치후 microtiter plate내를 wash buffer로 세척하고 200 µl의 G-CSF conjugate를 넣은 다음 2시간 방치하였다. 다시 microtiter plate내를 세척하고 용시 조제한 color A 및 color B 혼합액(1 : 1) 200 µl를 넣고 20분 방치후 stop solution 50 µl를 넣고 450 nm에서 optical density를 측정하였다. 본 정량법의 정량한계는 0.02 ng/ml이었고, CV (%)는 평균 5% 내외였다.

#### 약물동력학적 해석

시간 0에서 무한대까지 DA-3030의 혈장중 농도-시간 곡선하 면적(AUC) 및 area under the first moment of the plasma concentration-time curve(AUMC)는 trapezoidal rule-extrapolation method에 의해 구하였다. 이 방법은 혈장중 농도가 감소하는 동안에는 logarithmic trapezoidal rule을, 증가하는 동안에는 linear trapezoidal rule을 사용한다. 마지막 혈액 채취시간부터 무한대까지의 면적은 상법에 의하여 계산하였다. 정맥 주사후 time-averaged total body clearance(CL), mean residence time(MRT), apparent volume of distribution at steady

state( $V_{ss}$ ) 및 extent of bioavailability( $F$ )는 다음식에 의하여 구하였다(Gibaldi and Perrier, 1982; Yoon 등, 1992).

$$CL = \frac{\text{Dose}}{\text{AUC}} \quad (1)$$

$$\text{AUMC} = \int_0^\infty C_p \times t \, dt \quad (2)$$

$$\text{MRT} = \frac{\text{AUMC}}{\text{AUC}} \quad (3)$$

$$V_{ss} = CL \times MRT \quad (4)$$

$$F = \frac{\text{AUC}_{\text{i.m. or s.c.}} \times CL_{\text{i.m. or s.c.}}}{\text{AUC}_{\text{i.v.}} \times CL_{\text{i.v.}}} \quad$$

( $CL = K_{last} \cdot V_{dp}$ , if  $V_{dp}$  is constant between studies,

$$k_{last} = \frac{0.693}{t_{1/2}} \quad$$

$$= \frac{\text{AUC}_{\text{i.m. or s.c.}} \times t_{1/2} \text{ i.v.}}{\text{AUC}_{\text{i.v.}} \times t_{1/2} \text{ s.c. or i.m.}} \quad (5)$$

여기서  $C_p$ 는 시간  $t$ 에서의 DA-3030의 혈장 농도,  $k_{last}$ 는 terminal phase의 rate constant,  $V_{dp}$ 는 volume of distribution by area, 그리고  $t_{1/2}$ 는 terminal phase의 half-life이다.  $t_{1/2}$ 과 CL,  $V_{ss}$ 의 평균은 조화 평균 방법으로 산출하였다(Chiou, 1979).

#### 통계분석

Unpaired data의 평균간에 t-test를 사용하여 통계 처리하였으며, 유의수준은  $p < 0.05$ 으로 판단하였다.

#### 실험결과 및 고찰

DA-3030, 10  $\mu\text{g}/\text{kg}$ 을 mouse, rat 및 dog에 정맥 투여하였을 경우 평균 혈장 농도-시간 추이는 Fig. 1에 있고 그에 해당하는 약물속도 정수는 Table I에 있다. 정맥 주사후 mouse와 rat에서의 혈장 농도는 polyexponential하게 감소하였으나, dog에서는 monoexponential하게

감소하였다(Fig. 1). Mouse와 rat에서의 DA-3030의 약물속도 정수 즉, AUC(186 vs  $182 \pm 58.2 \text{ ng hr/mL}$ ), AUMC(224 vs  $181 \pm 78.2 \text{ ng hr}^2/\text{mL}$ ), MRT(1.21 vs  $0.968 \pm 0.127 \text{ hr}$ ), CL( $53.9 \pm 23.4 \text{ mL/hr/kg}$ ),  $V_{ss}(65.0 \pm 53.6 \pm 17.8 \text{ mL/kg})$  및 terminal  $t_{1/2}$  ( $1.31 \pm 1.19 \pm 0.186 \text{ hr}$ )는 유사하게 나타났으나, dog에서의 약물속도 정수중 AUC( $322 \pm 42.0 \text{ ng hr/mL}$ )는 rat에 비해 유의적 차이가 나타났으며 CL ( $31.0 \pm 4.16 \text{ mL/hr/kg}$ )와  $V_{ss}(45.8 \pm 0.854 \text{ mL/kg})$ 도 유의적 차이는 없었으나 감소하는 경향을 나타내었다. CL와  $V_{ss}$ 에서 유의적 차이가 나타나지 않은 것은 사용한 동물의 수가 적었기 때문이라 생각된다. 뇨중으로 배설된 DA-3030의 양은 실험한 모든 동물에서 ELISA assay의 검출 한계 이하로 나타났다. Interferon, human growth hormon, GM-CSF, G-CSF 및 CSF와 같은 분자량이 작은 단백질은 거의 모두가 glomerulus를 통해 여과되고, renal tubule에서 재흡수되며, 재흡수 과정중에 대사되고 나머지 일부는 간에서도 대사된다고 알려져 있다(Maack 등, 1979). 본 실험에서 rat는 동맥 혈장 농도, mouse 및 dog에서는 정맥 혈장 농도를 측정하였다. 따라서 DA-3030의 동맥 및 정맥 혈장 농도

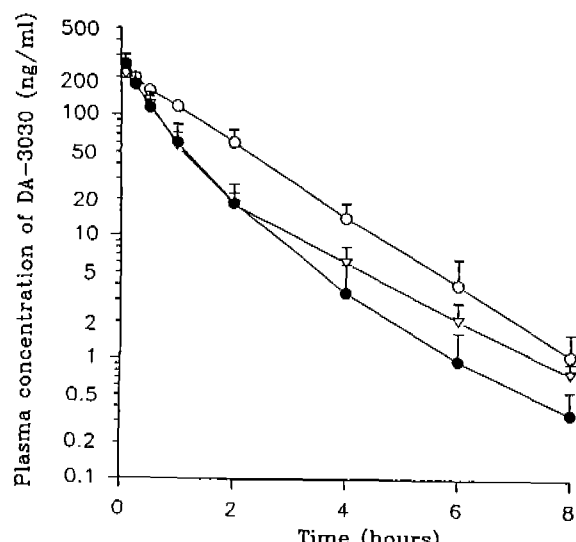


Fig. 1. Mean plasma concentration-time profiles of DA-3030 after intravenous administration of 10  $\mu\text{g}/\text{kg}$  to rats (●,  $n=5$ ), mice (▽,  $n=5$ , each) and dogs (○,  $n=3$ )

Table I. Mean ( $\pm$  standard deviation) pharmacokinetic parameters of DA-3030 after intravenous administration of 10  $\mu\text{g}/\text{kg}$  to mice ( $n=5$ ), rats ( $n=5$ ) and dogs ( $n=3$ ).

Animal	AUC ( $\text{ng hr/mL}$ )	AUMC ( $\text{ng hr}^2/\text{mL}$ )	MRT (hr)	CL ( $\text{mL/hr/kg}$ )	$V_{ss}$ ( $\text{mL/kg}$ )	terminal $t_{1/2}$ (hr)
mice <sup>a</sup>	186	224	1.21	53.9	65.0	1.31
rats	$182 \pm 58.2$	$181 \pm 78.2$	$0.968 \pm 0.127$	$54.8 \pm 23.4$	$53.6 \pm 17.8$	$1.19 \pm 0.186$
dogs	$322 \pm 42.0^*$	$483 \pm 132$	$1.48 \pm 0.217$	$31.0 \pm 4.16$	$45.8 \pm 0.854$	$1.15 \pm 0.0954$

<sup>a</sup>5 mice were sacrificed at each blood sampling time. Only mean values are listed. \*The mean AUC in dog was significantly different ( $p < 0.05$ ) from that in rats.

차이는 거의 없다고 가정하였다(Chiou, 1989).

DA-3030, 5, 10 및 100  $\mu\text{g}/\text{kg}$ 을 rat에 정맥 투여하였을 때의 평균 혈장 농도-시간 추이는 Fig. 2에 있고 그에 해당하는 약물속도 정수는 Table II에 있다. 정맥 투여후 혈장 농도는 모든 투여 용량에서 polyexponential하게 감소하였다. 100  $\mu\text{g}/\text{kg}$ 에서 terminal phase에서의  $t_{1/2}$ 는 5 및 10  $\mu\text{g}/\text{kg}$ 에 비해서 ( $1.05 \pm 0.109$ ,  $1.19 \pm 0.186$  vs  $1.83 \pm 0.0965$  hr) 통계적으로 유의성 있게 증가 하였으며, 그 결과 100  $\mu\text{g}/\text{kg}$ 에서 CL(84.0, 54.8 vs 45.5  $\text{ml}/\text{hr}/\text{kg}$ )은 5 및 10  $\mu\text{g}/\text{kg}$ 에 비해서 통계적으로 유의성 있게 감소하였다. 이러한 현상은 투여 용량의 증가에 따른 대사 포화 현상에 기인한 것으로 생각된다. 전술한 바와 같이 DA-3030의 CL는 nonrenal CL, 즉 metabolic CL과 거의 같기 때문에 투여 용량을 증가시킴에 따라 대사포화현상에 의해 CL가 감소하는 것으로 생각된다. 투여 용량의 증가에 따라  $t_{1/2}$ 가 증가하는 현상을 나타내었기 때문에 MRT( $0.820$ ,  $0.968$  vs  $1.15$  hr)도 투여 용량이 증가함에 따라 증가하였다. 그러나  $V_{ss}$ 는 투여 용량의 의존성이 없는 것으로 나타났다. 따라서 100  $\mu\text{g}/\text{kg}$ 에서 CL의 유의성 있는 감소는  $t_{1/2}$ 의 유의성 있는 증가때문

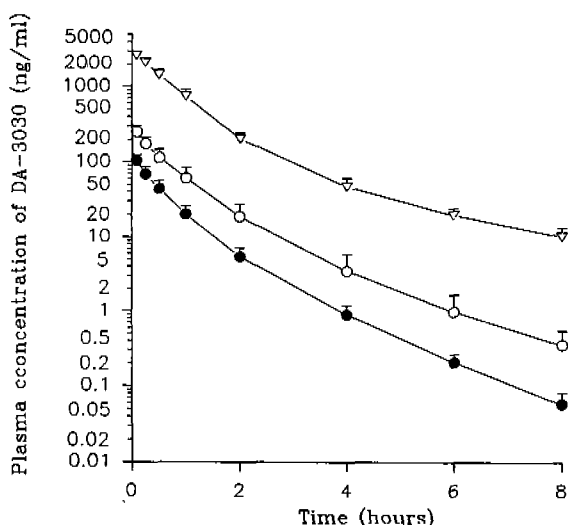


Fig. 2. Mean arterial plasma concentration-time profiles of DA-3030 after intravenous administration of 5(●), 10(○) and 100  $\mu\text{g}/\text{kg}$ (▽) to rats(n=5, each).

Table II. Mean ( $\pm$  standard deviation) pharmacokinetic parameters of DA-3030 after intraveneous administration of 5, 10 and 100  $\mu\text{g}/\text{kg}$  to rats. (n=5)

Dose ( $\mu\text{g}/\text{kg}$ )	AUC ( $\text{ng hr}/\text{ml}$ )	AUMC ( $\text{ng hr}^2/\text{ml}$ )	MRT (hr)	CL ( $\text{ml}/\text{hr}/\text{kg}$ )	$V_{ss}$ ( $\text{ml}/\text{kg}$ )	Terminal $t_{1/2}$ (hr)
5	$59.5 \pm 18.2$	$49.0 \pm 16.8$	$0.820 \pm 0.0528$	$84.0 \pm 20.1$	$69.1 \pm 16.0$	$1.05 \pm 0.109$
10	$182 \pm 58.2$	$181 \pm 78.2$	$0.968 \pm 0.127$	$54.8 \pm 23.4$	$53.6 \pm 17.8$	$1.19 \pm 0.186$
100	$2200 \pm 331$	$2530 \pm 538$	$1.15 \pm 0.0829^{**}$	$45.5 \pm 7.13^{*}$	$52.2 \pm 6.19$	$1.83 \pm 0.0965^{***}$

\*The mean CL at 100  $\mu\text{g}/\text{kg}$  was significantly different ( $p<0.05$ ) compared with 5  $\mu\text{g}/\text{kg}$ . \*\*The mean MRT at 100  $\mu\text{g}/\text{kg}$  was significantly different ( $p<0.01$ ) compared with 5 and 10  $\mu\text{g}/\text{kg}$ . \*\*\*The mean  $t_{1/2}$  at 100  $\mu\text{g}/\text{kg}$  was significantly different ( $p<0.001$ ) compared with 5 and 10  $\mu\text{g}/\text{kg}$ .

이라 생각된다. 왜냐하면  $V_{ss}$ 가 용량에 관계없이 일정하기 때문이다. rhG-CSF, 1, 5, 10 및 100  $\mu\text{g}/\text{kg}$ 을 rat에 정맥 투여하였을 때  $t_{1/2}$ 는 용량 의존성을  $V_{ss}$ 는 비용량 의존성을 나타낸다고 보고된 바가 있다(Tanaka and Tokiwa, 1990). 따라서 동아제약에서 제조한 DA-3030의 약물속도 정수들은 이미 발표된(Tanaka and Tokiwa, 1990) rhG-CSF의 약물속도 정수와 비슷하다고 생각된다.

DA-3030, 10  $\mu\text{g}/\text{kg}$ 을 rat에 정맥, 피하 및 근육 주사시 평균 혈장 농도-시간 추이는 Fig. 3에 있고 그에 해당하는 약물속도 정수는 Table III에 있다. 피하 및 근육 주사시 혈장 농도는 신속히 증가하다가 투여후 2시간에 최대치를 나타내었으며, 이후 정맥 투여에 비해 서서히 감소하였다. 이러한 결과는 DA-3030이 신속히 흡수됨과 동시에 지속적으로 흡수되기 때문인 것으로 생각되며 피하(2.86 hr) 및 근육(3.16 hr) 투여시  $t_{1/2}$ 가 정맥(1.19 hr) 투여시보다 통계적으로 유의성 있게 증가한 것은 피하 또는 근육 투여된 DA-3030이 최고 혈중 농도를 나타낸 2시간이후에도 계속 흡수되기 때문이라 생각된다. 전술한 정맥 투여 실험에서(Table II) DA-3030의 약물속도 정

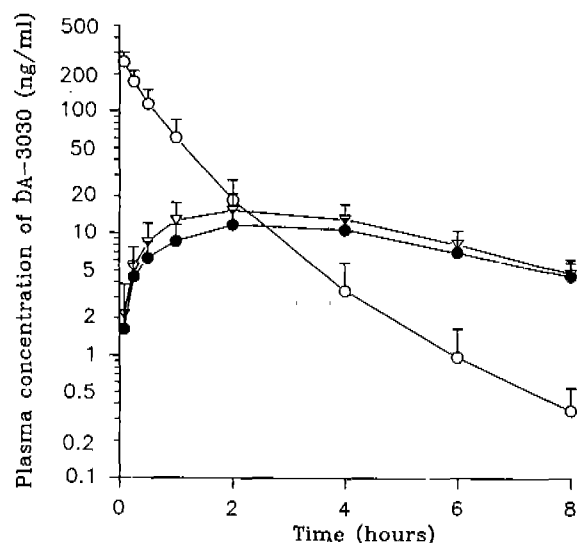
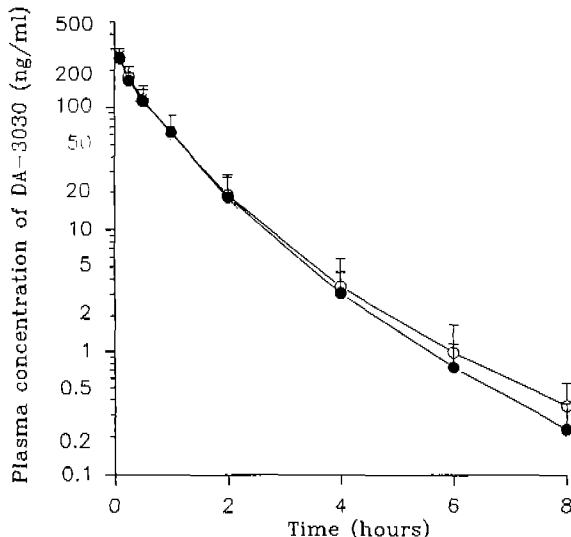


Fig. 3. Mean arterial plasma concentration-time profiles of DA-3030 after intravenous(○, n=5), subcutaneous(▽, n=5) and intramuscular(●, n=4) administration of 10  $\mu\text{g}/\text{kg}$  to rats.

**Table III.** Mean ( $\pm$  standard deviation) pharmacokinetic parameters of DA-3030 after intravenous (n=5), subcutaneous (n=5) and intramuscular (n=4) administration of 10  $\mu$ g/kg to rats.

Route	AUC (ng hr/ml)	AUMC (ng hr <sup>2</sup> /ml)	MRT (hr)	CL (ml/hr/kg)	V <sub>ss</sub> (ml/kg)	Terminal t <sub>1/2</sub> (hr)
i.v.	182 $\pm$ 58.2	181 $\pm$ 78.2	0.968 $\pm$ 0.127	54.8 $\pm$ 23.4	53.6 $\pm$ 17.8	1.19 $\pm$ 0.186
s.c.	102 $\pm$ 27.9	549 $\pm$ 162	5.45 $\pm$ 1.10	97.8 $\pm$ 28.9	508 $\pm$ 239	2.86 $\pm$ 0.902*
i.m.	88.1 $\pm$ 18.1	529 $\pm$ 205	5.91 $\pm$ 1.36	114 $\pm$ 27.4	656 $\pm$ 145	3.16 $\pm$ 0.690*

\*The mean t<sub>1/2</sub> after i.v. administration was significantly smaller (p<0.05) than those after s.c. and i.m. administrations.



**Fig. 4.** Mean arterial plasma concentration-time profiles of DA-3030 after single (○, n=5) and 7-consecutive day (●, n=5) i.v. administrations at a daily dose of 10  $\mu$ g/kg to rats.

수는 용량 의존성을 나타내었으므로 피하 및 근육 주사시의 생체내 이용율(extent of bioavailability)은 식(5)를 이용하여 계산하였으며, 그 값은 각각 23.3 및 18.2%로 나타났다. 본 실험에서 rhG-CSF의 용량 의존성을 고려하지 않은 경우의 피하 및 근육 주사시 생체내 이용율은 각각 56.0 및 48.4%로 기보고된 결과 즉 50.9~70.4% 및 67.4%(Tanaka 등, 1989; Tanaka and Tokiwa, 1990; Tanaka and Kaneko, 1991a and 1991b; Tanaka and Kaneko, 1992a and 1992b)와 유사하였으나 rhG-CSF의 CL는 용량 의존성을 나타내었으므로 생체내 이용율의 계산에는 반드시 용량 의존성을 고려하여야만 한다. 피하 및 근육 주사시 생체내 이용율이 적게 나타난 까닭은 DA-3030이 근육 및 피하 주사 부위의 protease에 의해

분해되기 때문이라 생각되며, 이는 이미 보고된 바 있다 (Petros, 1992).

DA-3030, 10  $\mu$ g/kg을 단회 및 7일간 반복 투여시의 평균 동맥 혈장 농도-시간 추이는 Fig. 4에 있고 그에 해당하는 약물속도 정수는 Table IV에 있다. 단회 투여시와 반복 투여시 혈장 농도 및 약물속도 정수는 통계적으로 유의차가 없었다. 이러한 결과는 rhG-CSF, 5  $\mu$ g/kg을 rat에 정맥투여시 AUC 및 CL가 단회 및 반복 투여군간에 통계적으로 유의성 있는 차이(118 $\pm$  13 vs 97.6 $\pm$  9.2 g hr/ml and 42.7 $\pm$  4.9 vs 51.6 $\pm$  5.2 ml/hr/kg)를 나타낸다는 보고 (Tanaka and Kaneko, 1991a)와는 다른 것으로서 그 이유는 명확하지 않으나, 보고에서도 그 차이는 적었고 Table II에서와 같이 DA-3030의 약물속도 정수가 용량 의존성을 나타내었으므로 두 실험간의 다른 결과는 투여용량의 차이(5 and 10  $\mu$ g/kg)등에 기인한 것으로 생각된다.

DA-3030, 10  $\mu$ g/kg을 정맥 투여하였을 때의 조직 분포 결과는 Table V에 있다. DA-3030의 조직중 농도는 투여후 30분에 2시간 및 8시간에 비해 실험한 모든 조직에서 최고치를 나타내었으며, 이후 신속히 감소하였다. 신장을 제외한 모든 조직에서의 T/P ratio는 1보다 작게 나타났으며, 이는 DA-3030의 조직과의 친화력이 약하다는 것을 나타낸다. 이는 DA-3030의 V<sub>ss</sub> 값(52.2~69.1 ml/kg)이 적게 나타난 결과 (Table II)와 일치한다. 투여후 30분에서의 신장에서의 T/P ratio는 1.30으로 모든 조직중에서 가장 큰 값을 나타내었으며, 이는 DA-3030이 신장의 glomerulus에서 여과되고 renal tubule에서 재흡수되는 사실(Maack 등, 1979)로 예측할 수 있다. <sup>125</sup>I-rhG-CSF, 10  $\mu$ g/kg을 rat에 투여한 후, 0.5 및 2시간에 갑상선 및 신장에서의 농도가 혈청보다 높다는 보고 (Kinoshita 등, 1990)가 있었는데, 신장에서 높은 농도가 관찰된 것은 본 실험과 일치하였고 다만 본 실험에서

**Table IV.** Mean ( $\pm$  standard deviation) pharmacokinetic parameters of DA-3030 after single and 7-consecutive day i.v. administrations at a daily dose of 10  $\mu$ g/kg to rats/ (n=5, each)

Route	AUC (ng hr/ml)	AUMC (ng hr <sup>2</sup> /ml)	MRT (hr)	CL (ml/hr/kg)	V <sub>ss</sub> (ml/kg)	Terminal t <sub>1/2</sub> (hr)
single	182 $\pm$ 58.2	181 $\pm$ 78.2	0.968 $\pm$ 0.127	54.8 $\pm$ 23.4	53.6 $\pm$ 17.8	1.19 $\pm$ 0.186
repeated	184 $\pm$ 42.7	181 $\pm$ 58.8	0.971 $\pm$ 0.0832	54.3 $\pm$ 11.2	53.1 $\pm$ 7.88	1.08 $\pm$ 0.0332

They were not significantly different (p<0.05).

**Table V.** Mean( $\pm$  standard deviation) amount(ng/g tissue) of DA-3030 remaining in each tissue after i.v. administration of 10  $\mu$ g/kg to rats(n=5). The numbers in parenthesis represent tissue to plasma ratio.

Tissue	30 min	2 hr	8 hr
Liver	8.90 $\pm$ 1.24 (0.0912 $\pm$ 0.0234)	2.22 $\pm$ 0.703 (0.118 $\pm$ 0.0235)	0.391 $\pm$ 0.0935 (0.864 $\pm$ 0.354)
Lung	33.1 $\pm$ 3.00 (0.337 $\pm$ 0.0630)	9.95 $\pm$ 2.03 (0.549 $\pm$ 0.128)	0.764 $\pm$ 0.132 (1.61 $\pm$ 0.182)
Heart	25.1 $\pm$ 2.83 (0.225 $\pm$ 0.0475)	7.19 $\pm$ 1.41 (0.396 $\pm$ 0.0853)	0.131 $\pm$ 0.106 (0.304 $\pm$ 0.274)
Kidney	129 $\pm$ 36.8 (1.30 $\pm$ 0.356)	32.5 $\pm$ 13.3 (1.78 $\pm$ 0.727)	0.810 $\pm$ 0.370 (1.76 $\pm$ 0.989)
Spleen	9.70 $\pm$ 1.94 (0.0970 $\pm$ 0.0145)	1.02 $\pm$ 0.617 (0.0519 $\pm$ 0.0180)	0.378 $\pm$ 0.431 (0.798 $\pm$ 0.902)
Muscle	5.38 $\pm$ 1.94 (0.0559 $\pm$ 0.0252)	2.98 $\pm$ 1.09 (0.169 $\pm$ 0.0801)	0.288 $\pm$ 0.0576 (0.630 $\pm$ 0.201)
Serum	99.8 $\pm$ 11.8	18.6 $\pm$ 4.79	0.477 $\pm$ 0.0815

취하지 않은 갑상선에서의 농도가 높게 나타난 것은 방사성 요오드로 표지된 rhG-CSF를 투여하였기 때문이라 생각된다.

### 참고문헌

- Burgess, A. W. and Metcalf, D. (1980). The nature and action of granulocyte-macrophage colony stimulating factors. *Blood*. **56**, 947-958.
- Begley, C. G., Metcalf, D., Lopez, A. F. and Nicola, N. A. (1985). Fractionate populations of normal human marrow cells respond to both human colony-stimulating factors with granulocyte-macrophage activity. *Exp. Hematol.* **13**, 956-962.
- Chiou, W. L. (1979). New calculation method for mean apparent drug volume of distribution and application to rational regimen. *J. Pharm. Sci.* **68**, 1067-1069.
- Chiou, W. L. (1989). The phenomenon and rationale of marked dependence of drug concentration on blood sampling site : Implication in pharmacokinetics, pharmacodynamics, toxicology and therapeutics(part I and II). *Clin. Pharmacokin.* **17**, 175-199 and 275-290.
- Gibaldi, M. and Perrier, D. (1982). *Pharmacokinetics*, 2nd Edn., Marcel-Dekker, New York.
- Kinoshita, H., Ichihara, T., Amano, J., Ohishi, N. and Okazaki A. (1990). Metabolic fate of rG-CSF(3) : Tissue distribution of  $^{125}$ I-rG-CSF in rats. *Jpn. Pharmacol. Ther.* **18**/suppl. 9, 459-469.
- Maack, T., Johnson, V., Kau, S. T., Figueiredo, J. and Sigulem, D. (1979). Renal filtration, transport, and metabolism of low-molecular weight proteins: A review. *Kidney Int.* **16**, 251-270.
- Metcalf, D. (1984). *The hemopoietic colony stimulating factors*. Elservier., Amsterdam.
- Metcalf, D. (1986). The molecular biology and function of the granulocyte-macrophage colony-stimulating factors. *Blood*. **67**, 257-267.
- Nicola, N. A., Metcalf, D., Matsumoto, M. and Johnson, G. R. (1983) Purification of a factor inducing differentiation in murine myelomonocytic leukemia cells: Identification as a granulocyte colony-stimulating factors(G-CSF). *J. Biol. Chem.* **258**, 9017-9023.
- Petros, W. P. (1992). Pharmacokinetics and administration of colony-stimulating factors. *Pharmacotherapy*. **12**, 33S-38S.
- Souza, L. M., Boone, T. C., Gabrilove, J., Lai, P. H., Zsebo, K. M., Murdock, D. C., Chazin, V. R., Bruszewski, J., Lu, H., Chen, K. K., Barendt, J., Platzer, E., Moore, M. A. S., Mertelsmann, R. and Welte, K. (1986). Recombinant human granulocyte colony-stimulating factor: Effects on normal and leukemic myeloid cells. *Science*. **232**, 61-65.
- Tanaka, H., Okada, Y., Kawagishi, M. and Tokiwa, T. (1989). Pharmacokinetics and pharmacodynamics of recombinant human granulocyte-colony stimulating factor after intravenous and subcutaneous administration in the rat. *J. Pharmacol. Exp. Ther.* **251**, 1199-1203.
- Tanaka, H. and Kaneko, T. (1991a). Pharmacokinetics of recombinant human granulocyte colony-stimulating factor in the rat: Single and multiple dosing studies. *Drug Metab. Dispos.* **19**, 200-204.
- Tanaka, H. and Kaneko, T. (1991b). Sex differences in the pharmacokinetics of recombinant human granulocyte colony-stimulating factor in the rat. *Drug Metab. Dispos.* **19**, 1034-1039.
- Tanaka, H. and Kaneko, H. (1992a). Pharmacokinetic and pharmacodynamic comparisons between human granulocyte colony-stimulating factor purified from human bladder carcinoma cell line 5637 culture medium and recombinant human granulocyte colony-stimulating factor produced in *Escherichia coli*. *J. Pharmacol. Exp. Ther.* **262**, 439-444.
- Tanaka, H. and Kaneko, H. (1992b). Development of a competitive radioimmunoassay and a sandwich enzyme-linked immunosorbent assay for recombinant human granulocyte colony-stimulating factor. Application to a pharmacokinetic study in rats. *J. Pharmacobio-Dyn.* **15**, 359-366.
- Tanaka, H. and Tokiwa, T. (1990). Pharmacokinetics of recombinant human granulocyte colony-stimulating factor studied in the rat by a sandwich enzyme-linked immunosorbent assay. *J. Pharmacol. Exp. Ther.* **255**, 724-729.
- Yoon, E. J., Jang, H. W., Lee, M. G., Lee, H.-j., Park, M. K. and Kim, C.-K. (1992). Pharmacokinetics of methotrexate-rabbit serum albumin conjugate to rabbits. *Int. J. Pharm.* **67**, 174-184.